

## Nb掺杂碲化铅合金的热电性能

赵杰<sup>1,2</sup> 辛彩妮<sup>1,2</sup> 韩叶茂<sup>1,2</sup> 周敏<sup>1</sup> 黄荣进<sup>1</sup> 李来凤<sup>1</sup>

1. 航天低温推进剂技术国家重点实验室 中国科学院理化技术研究所 北京 100190

2. 中国科学院大学 北京 100049

**摘要** 用机械合金(MA)和放电等离子烧结(SPS)方法制备出Nb掺杂的 $\text{Pb}_{1-x}\text{Te}$ 合金块体,在323-673 K温区内测试其电阻率、Seebeck系数和热扩散系数,并计算其热电优值。结果表明:在 $\text{Pb}_{1-x}\text{Te}$ 中掺杂Nb能有效提高材料的载流子浓度,优化其电性能,使 $\text{Pb}_{1-x}\text{Nb}_x\text{Te}$ 的功率因子在523-673 K温区范围内超过 $20 \text{ mW}/(\text{cm}\cdot\text{K}^2)$ 。同时,Nb的引入可增强声子散射,降低晶格热导率,从而得到较高的热电优值。样品 $\text{Pb}_{1-x}\text{Nb}_x\text{Te}$ 在673 K时ZT值最大为1.27,是基体材料 $\text{Pb}_{1-x}\text{Te}$ 的2倍。

**关键词** 金属材料, Seebeck系数, 晶格热导率, n型PbTe合金

**分类号** TN304

**文章编号** 1005-3093(2015)02-0115-05

## Thermoelectric Properties of Nb-doped Lead Telluride Alloys

ZHAO Jie<sup>1,2</sup> XIN Caini<sup>1,2</sup> HAN Yemao<sup>1,2</sup> ZHOU Min<sup>1\*</sup> HUANG Rongjin<sup>1</sup> LI Laifeng<sup>1</sup>

1. State Key Laboratory of Technologies in Space Cryogenic Propellants, Technical Institute of Physics and Chemistry, Chinese Academy of Sciences, Beijing 100190, China

2. University of Chinese Academy of Sciences, Beijing 100049, China

Manuscript received March 17, 2014; in revised form September 28, 2014.

\*To whom correspondence should be addressed, Tel: (010)82543699, E-mail: mzhou@mail.ipc.ac.cn

**ABSTRACT** Bulk Nb-doped lead telluride  $\text{Pb}_{1-x}\text{Te}$  was prepared by using a combined process of mechanical alloying (MA) and spark plasma sintering (SPS). Then its transport properties such as electrical resistivity, Seebeck coefficient and thermal diffusion coefficient were measured in a temperature range from 323 K to 673 K. As a result, the doped Nb can effectively enhance the phonon scattering ability of the lead telluride  $\text{Pb}_{1-x}\text{Te}$ , and optimize its electrical performance as well. Large power factors of over  $20 \text{ mW}/(\text{cm}\cdot\text{K}^2)$  were obtained in a wide temperature range (523-623 K). In addition, the thermal conductivity decreased with the increasing Nb content, which may also be resulted from the increase of the phonon scattering ability, thereby an optimal ZT value may be found. A maximum ZT value of 1.27 was obtained for  $\text{Pb}_{1-x}\text{Nb}_x\text{Te}$  at 673 K, which was twice as high as that for the un-doped  $\text{Pb}_{1-x}\text{Te}$ .

**KEY WORDS** metallic materials, Seebeck coefficient, lattice thermal conductivity, n-type PbTe alloys

热电材料是一种将固体内部载流子运动热能与电能相互转化的功能材料。随着能源短缺和环境污染问题的日益突出,作为一种新型的能源转换材料,热电材料因其本身的优点而引起人们的关注。热电材料的理论基础是半导体的塞贝克(Seebeck)效应和帕尔贴(Peltier)效应<sup>[1]</sup>,其主要应用包括热电发电和热电制冷,如放射性同位素热电发生器、便携式制冷器等<sup>[2,3]</sup>。

热电材料的性能用无量纲优值  $ZT=S^2T/(\rho(\kappa_e+\kappa_l))$  表征,其中  $S$ 、 $T$ 、 $\rho$ 、 $\kappa_e$  和  $\kappa_l$  分别为 Seebeck 系数、绝对温度、电阻率、电子热导率和晶格热导率。材料的

ZT 值越高,其热电性能越优越。提高材料的热电性能主要通过增大其 Seebeck 系数并降低其电阻率和热导率,但是决定材料性能的三个参量  $\rho$ 、 $S$ 、 $\kappa_e$  之间是互相关联的,都取决于材料的电子结构及载流子的输运情况<sup>[4]</sup>。因此,调控载流子浓度是优化热电性能的重要途径之一。

PbTe 是最早被研究并得到实际应用的中间温区(300-800 K)热电材料之一。PbTe 具有 NaCl 型晶体结构,属面心立方点阵,其熔点较高(1095 K),禁带宽度较大(约 0.3 eV),化学性质稳定。高性能的 PbTe 热电材料,主要通过引入共振态、纳米结构和调整能带结构等手段<sup>[5-9]</sup>得到。如 Tl 掺杂的 PbTe 合金<sup>[10]</sup>,通过在基体材料费米能级附近引入共振态,从而在 773 K 时得到最大 ZT 值 1.5; n 型块状  $\text{AgPb}_m\text{S-}$

2014年3月17日收到初稿;2014年9月28日收到修改稿。

本文联系人:周敏

$\text{bTe}_{m+2}$  (LAST) 纳米结构材料<sup>[11]</sup>, 在 800 K 时 ZT 值显著提高(达到 2.2), 主要是基体 PbTe 中的量子纳米点 Ag-Sb 所致; 在 PbTe-PbS 体系<sup>[12]</sup>中, PbS 纳米结构的出现导致材料的 ZT 值在 800 K 时达到 1.8; 由于多能谷价带结构的影响, 重掺杂的 PbTe: Na<sup>[13]</sup>在 750 K 时 ZT 值为 1.4; 通过调整  $\text{PbTe}_{1-x}\text{Se}_x$ <sup>[14]</sup>的成分, 在 850 K 时其 ZT 值为 1.8。实验结果表明, 元素掺杂可优化 PbTe 基合金的热电性能。因此, 找到合适的掺杂元素并调整其成分配比, 是获得高性能的热电材料的重要途径。

在 n 型 PbTe 中掺入过量的 Pb 可提高材料的力学性能, 弥补材料制备过程中 Pb 的损失, 保证电阻率测试的可重复性<sup>[15]</sup>。本文制备 Nb 掺杂  $\text{Pb}_{1-x}\text{Nb}_x\text{Te}$  材料并测试其热电性能, 研究 Nb 对基体材料  $\text{Pb}_{1-x}\text{Te}$  热电性能的影响。

## 1 实验方法

在手套箱中将适量高纯度 Pb 粉(99.999%)、Te 粉(99.999%)和 Nb 粉(99.99%)按  $\text{Pb}_{1-x}\text{Nb}_x\text{Te}$  ( $x=0, 0.02, 0.04, 0.06, 0.07, 0.08$ ) 比例混合, 然后将其置于密封不锈钢球磨罐中, 球料比为 20:1。用行星球磨机(QM-WX4)以 350 r/min 的速率球磨 10 h。将球磨后的粉末材料装在石墨模具中, 用放电等离子烧结 (SPS) 法在 0.1 Pa 的真空中制备块体材料, 烧结温度 623 K, 烧结时间 5 min, 烧结压力 50 MPa。

用 BRUKER D8-Discover X 射线衍射仪(XRD)分析块体材料的物相组成。用 S-4800 扫描电子显微镜(SEM)观察材料的断口形貌。在 323–673 K 范围内测试样品的电阻率、Seebeck 系数和热扩散系数, 并测量样品在 300 K 时的霍尔系数。其中, 用 LSR-3 (Linseis)在静态氦气氛下测量电阻率和 Seebeck 系数, 用范德堡法测量霍尔系数。用 Netzsch LFA 457 激光导热仪在 50 mL/min 的动态高纯氦气氛中测量热扩散系数, 样品的比热  $C_p$  ( $K_B$  per atom) $=3.07+4.7\times10^{-4}\times(T/K-300)$  计算得到<sup>[14, 16, 17]</sup>, 密度采用阿基米德方法测试得到。材料的热导率  $\kappa=DC_p d$ , 其中  $D$  为热扩散系数,  $C_p$  为比热,  $d$  为密度。

## 2 结果和讨论

### 2.1 物相分析和微观结构

图 1 给出了块状样品  $\text{Pb}_{1-x}\text{Nb}_x\text{Te}$  ( $x=0, 0.02, 0.04, 0.06, 0.07, 0.08$ ) 的 XRD 谱。从图 1 可见, 主要的衍射峰均为 PbTe 合金的面心立方结构, 少量的 Pb 的衍射峰说明过量的 Pb 并没有完全进入 PbTe 的子晶格中。由于 Nb 的含量较低, 在 XRD 谱中没有观

察到 Nb 的衍射峰。

图 2 给出了  $\text{Pb}_{1-x}\text{Nb}_x\text{Te}$  和  $\text{Pb}_{1.03}\text{Nb}_{0.07}\text{Te}$  材料断口的 SEM 像。样品的晶粒尺寸在 200–400 nm 范围内, 源于机械合金化的优势——降低晶粒尺寸。晶粒尺寸的减小有助于增强晶界对声子的散射, 降低晶格热导率。

### 2.2 电输运性能

图 3 给出了不同 Nb 含量的样品  $\text{Pb}_{1-x}\text{Nb}_x\text{Te}$  的电阻率、Seebeck 系数和功率因子与温度的关系。从图 3a 和 b 可以看出, 随着温度升高所有样品的电阻率

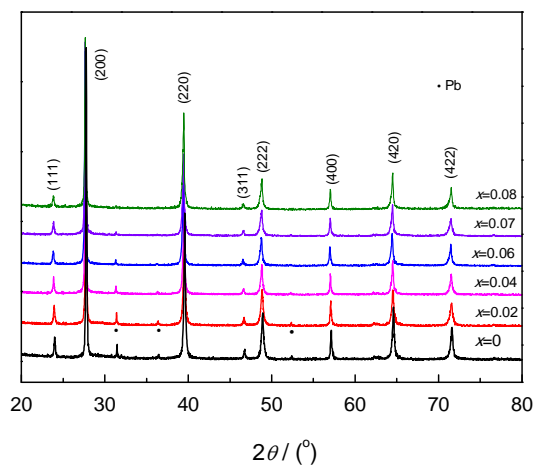


图 1 样品  $\text{Pb}_{1-x}\text{Nb}_x\text{Te}$  ( $x=0, 0.02, 0.04, 0.06, 0.07, 0.08$ ) 的 XRD 谱

Fig.1 XRD spectra for the samples of  $\text{Pb}_{1-x}\text{Nb}_x\text{Te}$  ( $x=0, 0.02, 0.04, 0.06, 0.07, 0.08$ )

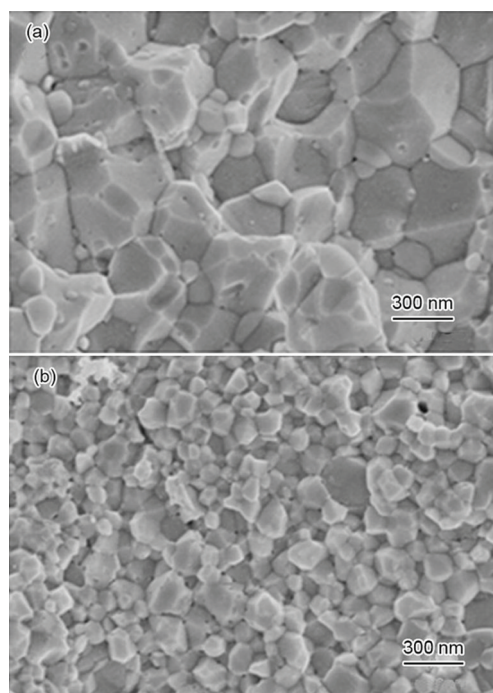


图 2 样品  $\text{Pb}_{1-x}\text{Nb}_x\text{Te}$  和  $\text{Pb}_{1.03}\text{Nb}_{0.07}\text{Te}$  的断口形貌

Fig.2 SEM images of fracture surface for  $\text{Pb}_{1-x}\text{Nb}_x\text{Te}$  (a) and  $\text{Pb}_{1.03}\text{Nb}_{0.07}\text{Te}$  (b)

和 Seebeck 系数绝对值都呈增长趋势, 表现为简并半导体的性质。Pb<sub>1-x</sub>Te 在 323 K 的电阻率为 3.55 mΩ·cm, 比过去报道的纯 PbTe<sup>[18]</sup> 的电阻率小。根据文献报道, 在 PbTe 中部分 Pb 在晶格结构中形成 Te 的空位, 导致 PbTe 向 n 型传到方向偏移<sup>[19]</sup>。随着 Nb 元素含量的增加材料的电阻率不断降低, Pb<sub>1.02</sub>Nb<sub>0.08</sub>Te 在

323 K 时取得最小电阻率 0.95 mΩ·cm, 是基体 Pb<sub>1-x</sub>Te 在此温度下的电阻率的 1/4。根据电阻率与迁移率的变化关系  $1/\rho = ne\mu$ , 考虑到载流子散射使迁移率降低, 电阻率的降低来源于载流子浓度的增大。Pb<sub>1-x</sub>Te 的迁室温移率比 PbTe<sup>[18]</sup> 的小, 仅有 571 cm<sup>2</sup>/(V·s)。其原因是, 过量的 Pb 在晶格结构中产生了晶格畸变而对声子产生散射作用, 从而降低了 Pb<sub>1-x</sub>Te 的载流子迁移率。从图 3b 可以看出, Pb<sub>1-x</sub>Te 的 Seebeck 系数绝对值比纯 PbTe 高, 可能是因为过量的 Pb 增大了样品的弛豫时间<sup>[20]</sup>。Seebeck 系数和霍尔系数的值均为负值, 说明 Nb 掺杂的碲化铅材料是 n 型导电。随着载流子浓度的变化 Seebeck 系数绝对值单调减小, 可由

$$S = \frac{8\pi^2 k_B^2}{3eh^2 T} m^* \left(\frac{\pi}{3n}\right)^{\frac{2}{3}} \quad (1)$$

解释。式中  $S$  为 Seebeck 系数,  $k_B$  为波尔兹曼常数,  $m^*$  为态密度有效质量,  $n$  为载流子浓度。由式(1)可见, 载流子浓度的增大将会导致 Seebeck 系数的减小。

图 4 给出了样品 Pb<sub>1-x</sub>Nb<sub>x</sub>Te 在 300 K 时霍尔迁移率随载流子浓度变化曲线。迁移率主要取决于缺陷散射、载流子散射和边界散射等<sup>[21]</sup>。由图 4 可见, 载流子迁移率随着载流子浓度的增大而逐渐减小。当载流子浓度增大时载流子散射得到增强, 使载流子迁移率减小; 此外, Nb 替代了 PbTe 晶格中 Pb, Nb 和 Pb 原子质量与原子半径之差会引入应力场而散射载流子。因此, 随着 Nb 含量的不断增大以上两种作用不断加强, 共同导致迁移率随载流子浓度不断降低。

功率因子 ( $S^2/\rho$ ) 综合描述了 Nb 元素对 PbTe 电输运性能的影响。从图 3c 可以看出, Pb<sub>1.03</sub>Nb<sub>0.07</sub>Te 的功率因子在一个较宽的温度范围内 (523–673 K) 取得

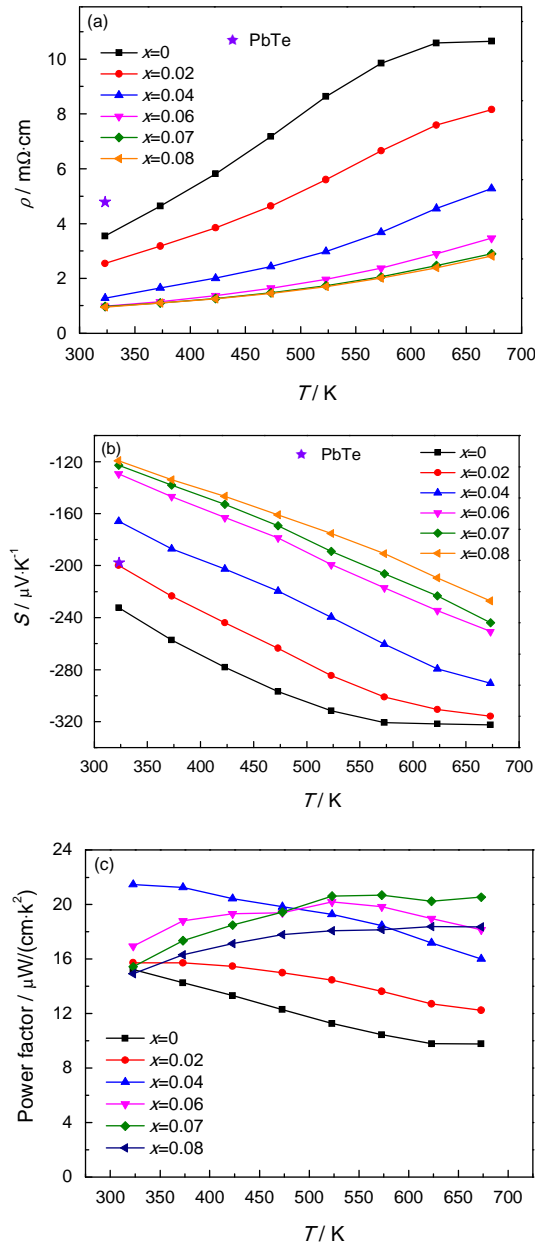


图 3 样品 Pb<sub>1-x</sub>Nb<sub>x</sub>Te ( $x=0, 0.02, 0.04, 0.06, 0.07, 0.08$ ) 的电阻率、Seebeck 系数以及功率因子与温度的关系 (图 a, b 中的 ★ 代表已报道的纯 PbTe<sup>[18]</sup> 在 323 K 时的电阻率和 Seebeck 系数)

Fig.3 Electrical resistivity(a), Seebeck coefficient (b) and power factor (c) of Pb<sub>1-x</sub>Nb<sub>x</sub>Te ( $x=0, 0.02, 0.04, 0.06, 0.07, 0.08$ ) as a function of temperature, the violet stars are electrical resistivity and Seebeck coefficient at 323 K for pure PbTe reported in Ref [18]

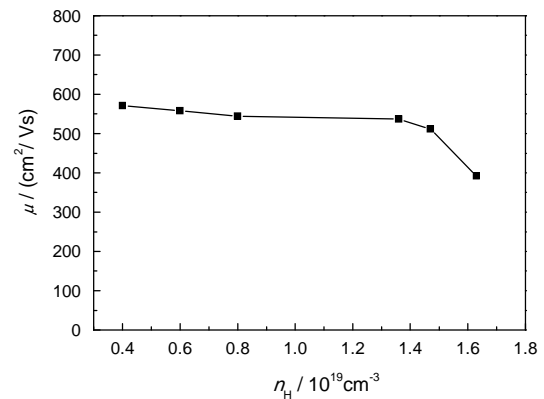


图 4 样品 Pb<sub>1-x</sub>Nb<sub>x</sub>Te 在 300 K 霍尔迁移率与载流子浓度的关系

Fig.4 Hall mobility as function of Hall carrier density of Pb<sub>1-x</sub>Nb<sub>x</sub>Te ( $x=0, 0.02, 0.04, 0.06, 0.07, 0.08$ ) at 300 K



超过  $20 \text{ mW}/(\text{cm} \cdot \text{K}^2)$  的值, 比过去报道的  $\text{PbTe}$  基材料<sup>[13, 22]</sup> 的功率因子要高。这表明,  $\text{Nb}$  元素对  $\text{Pb}_{1.1}\text{Te}$  的掺杂有效提高了材料的电学性能。

### 2.3 热输运性能

图5给出了样品  $\text{Pb}_{1.1-x}\text{Nb}_x\text{Te}$  的总热导率( $\kappa = \kappa_c + \kappa_l$ )和晶格热导率( $\kappa_l$ )与温度的关系。电子热导率( $\kappa_c$ )满足 Wiedemann-Franz 定律, 其表达式为  $\kappa_c = LT/\rho$ , 其中  $L$  为洛伦兹因子(对自由电子,  $L = 2.45 \times 10^{-8} \text{ V}^2/\text{K}^2$ )。Nb 掺杂的样品  $\text{Pb}_{1.1-x}\text{Nb}_x\text{Te}$  的热导率随着温度上升而降低, 主要是声子散射增强引起的。随着 Nb 含量的增加晶格热导率不断降低,  $\text{Pb}_{1.02}\text{Nb}_{0.08}\text{Te}$  在 673 K 时晶格热导率仅为  $0.51 \text{ W}/(\text{K} \cdot \text{m})$ , 比基体材料在此温度下的值降低了 41%。晶格热导率的降低, 一方面是晶粒尺寸降低和晶界数目增加导致的, 当块体材料的晶粒尺寸小于 500 nm 时, 其晶格热导率将会迅速降低<sup>[23]</sup>; 此外, Nb 替代 Pb 导致晶格缺陷, 晶格缺陷对声子产生散射作用, 而 Pb 与 Nb 原子质量的不同引起应力场的波动, 也产生声子散射, 这些因素都使晶格热导率降低<sup>[24]</sup>。

### 2.4 ZT 值

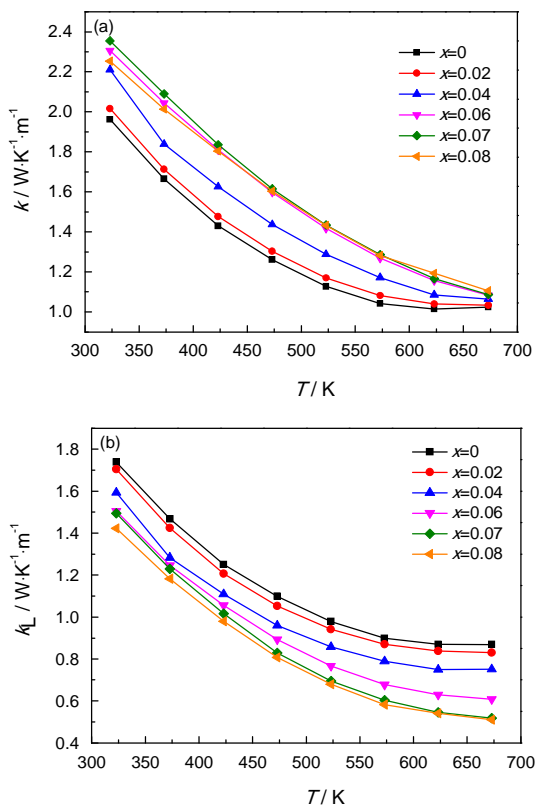


图5  $\text{Pb}_{1.1-x}\text{Nb}_x\text{Te}$  的总热导率  $\kappa$  和晶格热导率  $\kappa_l$  与温度的关系

Fig.5 Temperature dependence of the total thermal conductivity  $\kappa$  (a) and lattice thermal conductivity  $\kappa_l$  (b) for  $\text{Pb}_{1.1-x}\text{Nb}_x\text{Te}$

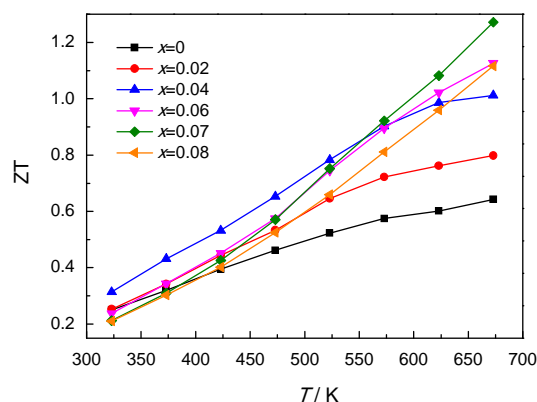


图6 样品  $\text{Pb}_{1.1-x}\text{Nb}_x\text{Te}$  ( $x=0, 0.02, 0.04, 0.06, 0.07, 0.08$ ) 的 ZT 值与温度的关系

Fig.6 ZT as a function of temperature for  $\text{Pb}_{1.1-x}\text{Nb}_x\text{Te}$  ( $x=0, 0.02, 0.04, 0.06, 0.07, 0.08$ )

图6给出了  $\text{Pb}_{1.1-x}\text{Nb}_x\text{Te}$  ( $x=0, 0.02, 0.04, 0.06, 0.07, 0.08$ ) 的 ZT 值与温度的关系。从图可见, 随着温度的升高, 样品的 ZT 值不断增大, 主要是温度升高使功率因子增大和热导率降低引起的。样品  $\text{Pb}_{1.03}\text{Nb}_{0.07}\text{Te}$  在 673 K 时的 ZT 值最大(1.27), 是基体材料  $\text{Pb}_{1.1}\text{Te}$  的 2 倍。

## 3 结 论

采用机械合金和放电等离子烧结方法制备了 Nb 掺杂 n 型  $\text{Pb}_{1.1}\text{Te}$  样品。Nb 掺杂提高了基体材料  $\text{Pb}_{1.1}\text{Te}$  的载流子浓度, 使材料的室温载流子浓度从  $0.4 \times 10^{19}$  提高至  $1.63 \times 10^{19} \text{ cm}^{-3}$ ; 在 673 K,  $\text{Pb}_{1.03}\text{Nb}_{0.07}\text{Te}$  的功率因子最大为  $22.5 \text{ mW}/(\text{cm} \cdot \text{K}^2)$ , 是  $\text{Pb}_{1.1}\text{Te}$  的 2 倍多, ZT 值从 0.64 提高至 1.27, 使其电性能得到优化。

### 参 考 文 献

- 1 D. M. Rowe, *CRC Handbook of Thermoelectrics* (CRC Press, 1995) p.7
- 2 L. E. Bell, Cooling, heating, generating power, and recovering waste heat with thermoelectric systems, *Science*, **321**, 1457(2008)
- 3 S. B. Riffat, X. Ma, Thermoelectrics: a review of present and potential applications, *Applied Thermal Engineering*, **23**, 913(2003)
- 4 G. J. Snyder, E.S.Toberer, Complex thermoelectric materials, *Nature Materials*, **7**, 105(2008)
- 5 J. R. Sootsman, D. Y. Chung, M. G. Kanatzidis, New and old concepts in thermoelectric materials, *Angew Chem. Int. Ed. Engl.*, **48**, 8616(2009)
- 6 M. S. Dresselhaus, G. Chen, M. Y. Tang, R. G. Yang, H. Lee, D. Z. Wang, Z. F. Ren, J.-P. Fleurial, P. Gogna, New directions for low-dimensional thermoelectric materials, *Advanced Materials*, **19**, 1043 (2007)
- 7 J.-F. Li, W.-S. Liu, L.-D. Zhao, M. Zhou, High-performance nano-structured thermoelectric materials, *NPG Asia Materials*, **2**, 152

- (2010)
- 8 A. J. Minnich, M. S. Dresselhaus, Z. F. Ren, G. Chen, Bulk nano-structured thermoelectric materials: current research and future prospects, *Energy & Environmental Science*, **2**, 466(2009)
  - 9 Y. Pei, H. Wang, G. J. Snyder, Band engineering of thermoelectric materials, *Advanced Materials*, **24**, 6125(2012)
  - 10 J. P. Heremans, V. Jovovic, E. S. Toberer, A. Saramat, K. Kurosaki, A. Charoenphakdee, S. Yamanaka, G. J. Snyder, Enhancement of thermoelectric efficiency in PbTe by distortion of the electronic density of states, *Science*, **321**, 554(2008)
  - 11 K. F. Hsu, S. Loo, F. Guo, W. Chen, J. S. Dyck, C. Uher, T. Hogan, E. K. Polychroniadis, M. G. Kanatzidis, Cubic  $\text{AgPb}_m\text{SbTe}_{2+m}$ : bulk thermoelectric materials with high figure of merit, *Science*, **303**, 818(2004)
  - 12 S. N. Girard, J. He, X. Zhou, D. Shoemaker, C. M. Jaworski, C. Uher, V. P. Dravid, J. P. Heremans, M. G. Kanatzidis, High performance Na-doped PbTe-PbS thermoelectric materials: electronic density of states modification and shape-controlled nanostructures, *Journal of the American Chemical Society*, **133**, 16588(2011)
  - 13 Y. Pei, A. LaLonde, S. Iwanaga, G. J. Snyder, High thermoelectric figure of merit in heavy hole dominated PbTe, *Energy & Environmental Science*, **4**, 2085(2011)
  - 14 Y. Pei, X. Shi, A. LaLonde, H. Wang, L. Chen, G. J. Snyder, Convergence of electronic bands for high performance bulk thermoelectrics, *Nature*, **473**, 66(2011)
  - 15 R. Fritts, *Thermoelectric Materials and Devices* (Reinhold Pub. Corp., 1960)p.143-162
  - 16 A. D. LaLonde, Y. Pei, H. Wang, G. J. Snyder, Lead telluride alloy thermoelectrics, *Materials Today*, **14**, 526 (2011)
  - 17 Y. Pei, N. A. Heinz, A. LaLonde, G. J. Snyder, Combination of large nanostructures and complex band structure for high performance thermoelectric lead telluride, *Energy & Environmental Science*, **4**, 3640(2011)
  - 18 Y.-L. Pei, Y. Liu, Electrical and thermal transport properties of Pb-based chalcogenides: PbTe, PbSe, and PbS, *Journal of Alloys and Compounds*, **514**, 40(2012)
  - 19 H. Z. Wang, Q. Y. Zhang, B. Yu, H. Wang, W. S. Liu, G. Chen, Z. F. Ren, Transmission electron microscopy study of Pb-depleted disks in PbTe-based alloys, *Journal of Materials Research*, **26**, 912, (2011)
  - 20 J. P. Heremans, C. M. Thrush, D. T. Morelli, Thermopower enhancement in PbTe with Pb precipitates, *Journal of Applied Physics*, **98**, 063703(2005)
  - 21 Z. Chen, M. Zhou, R. J. Huang, C. M. Song, Y. Zhou, L. F. Li, Thermoelectric properties of p-type Pb-doped  $\text{Bi}_{0.8}\text{Sb}_{1.2-x}\text{Pb}_x$  alloys at cryogenic temperatures, *Journal of Alloys and Compounds*, **511**, 85 (2012)
  - 22 H. Wang, J.-F. Li, C.-W. Nan, M. Zhou, W.S. Liu, B.-P. Zhang, T. Kita, High-performance  $\text{Ag}_{0.8}\text{Pb}_{1.8+x}\text{SbTe}_{2.0}$  thermoelectric bulk materials fabricated by mechanical alloying and spark plasma sintering, *Applied Physics Letters*, **88**, 092104(2006)
  - 23 X. J. Zheng, L. Zhu, Y.-H. Zhou, Q. Zhang, Impact of grain sizes on phonon thermal conductivity of bulk thermoelectric materials, *Applied Physics Letters*, **87**, 242101(2005)
  - 24 M. Zhou, L. Chen, C. Feng, D. Wang, J.-F. Li, Moderate-temperature thermoelectric properties of TiCoSb-based half-Heusler compounds  $\text{Ti}_{1-x}\text{Ta}_x\text{CoSb}$ , *Journal of Applied Physics*, **101**, 113714(2007)